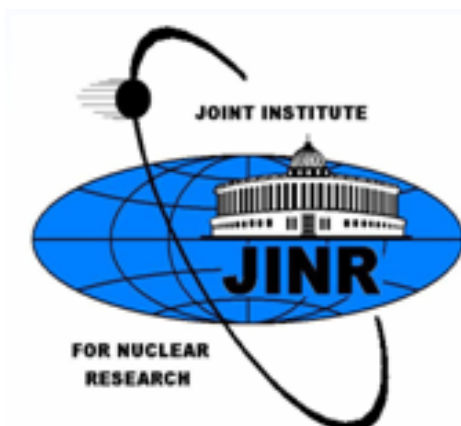


THE IBA-JINR C235-V3 CYCLOTRON DEVELOPMENT FOR DIMITROVGRAD HOSPITAL CENTER OF THE PROTON THERAPY

S. Kostromin, S. Gursky, G. Karamysheva, M. Kazarinov, S. Korovkin, S. Mokrenko, N. Morozov, A. Olshevsky, V. Romanov, E. Samsonov, N. Shakun, G. Shirkov, S. Shirkov, E. Syresin

Joint Institute for Nuclear Research, Dubna



ФМБА России - Windows Internet Explorer

http://fmbaros.ru/

File Edit View Favorites Tools Help

Favorites Gmail · Написать письмо · ...

ФМБА России

Архив сайта

ФМБА России
Федеральное медико-биологическое агентство

О ФМБА России
Деятельность
Документы
Работа с населением
Пресс-центр
Контакты

Блог руководителя ФМБА России

Анонсы

Научно-практическая конференция «Информационные технологии в практическом здравоохранении»

ФЦП "Создание высокотехнологичных центров медицинской радиологии"

Медицина Госсанэпиднадзор

Наука Служба крови

Федеральное медико-биологическое агентство (ФМБА) РФ разработало концепцию федеральной целевой программы (ФЦП) по развитию ядерной медицины в 2010 году. Документом предусмотрено создание высокотехнологичных центров медицинской радиологии в Димитровграде, Обнинске и Томске до 2016 года.

2

http://dimra.ru/n1276

File Edit View Favorites Tools Help

Favorites Gmail - Написать письмо - ...

Центр медицинской радиологии в Димитровграде ...

Главная О сайте Погода в Димитровграде Контакт

dimra.ru
Центр медицинской радиологии и Академгородок в Димитровграде

[Академгородок](#) [ДИИП](#) [Медцентр ДИМРА](#) [Новости Димитровграда](#) [Форум-99](#)

search

follow

RSS

В

Центр медицинской радиологии в Димитровграде достроят к 2014-му году

Опубликовано 30. Июн, 2012 news в рубрике: [Медцентр ДИМРА](#), [Новости Димитровграда](#)

Строительство Центра медицинской радиологии, которое сейчас полным ходом идет в Димитровграде, будет завершено в 2014 году, как сообщает пресс-служба Ульяновской области. В данный момент работы ведутся на 14-ти будущих корпусах центра.

В этом году планируется возвести монолитные контуры всех зданий, на

Комментировать

Имя

Почта (не будет опубликовано)

Сайт

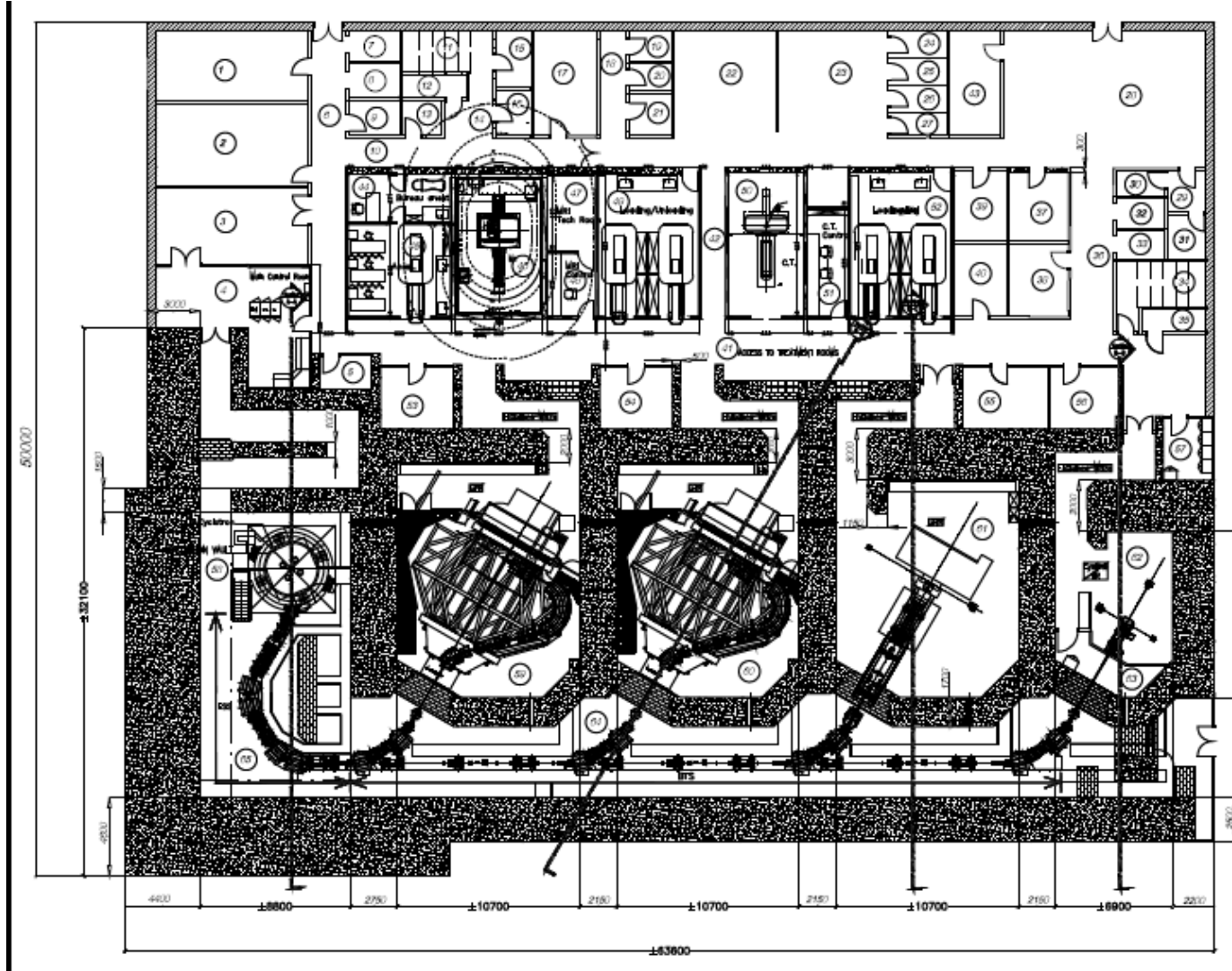
Internet 100%

Proton therapy center



4

Include:
2 gantry systems
Room with fixed beam
Eye treatment room
PATLOG system



22 IBA PT customers in the world



C235 cyclotron parameters



Энергия ускоренных протонов, МэВ	232
Среднее магнитное поле, Т в центре	1.7
на радиусе вывода	2.15
Радиус вывода, м	1.08
Магнитное поле на радиусе вывода, Т в холме	3.09
в долине	0.98
Зазор, мм в долине	600
в холме	96-9
Периодичность структуры магнитного поля	4
Ампер-витки обмотки, кА	525
Потребляемая мощность обмотки магнита, кВт	190
Вес магнита, т	210
Количество дуантов	2
Напряжение на дуантах, кВ в центре	55
на радиусе вывода	120
Частоты бетатронных колебаний Q_r/Q_z	1-1.37/ 0-0.28

Experimental hall (Bld #5) preparation

- building floor reinforcement
- foundation under vault
- special plates inside the foundation for cyclotron feet
- technological pit



- Vault shielding



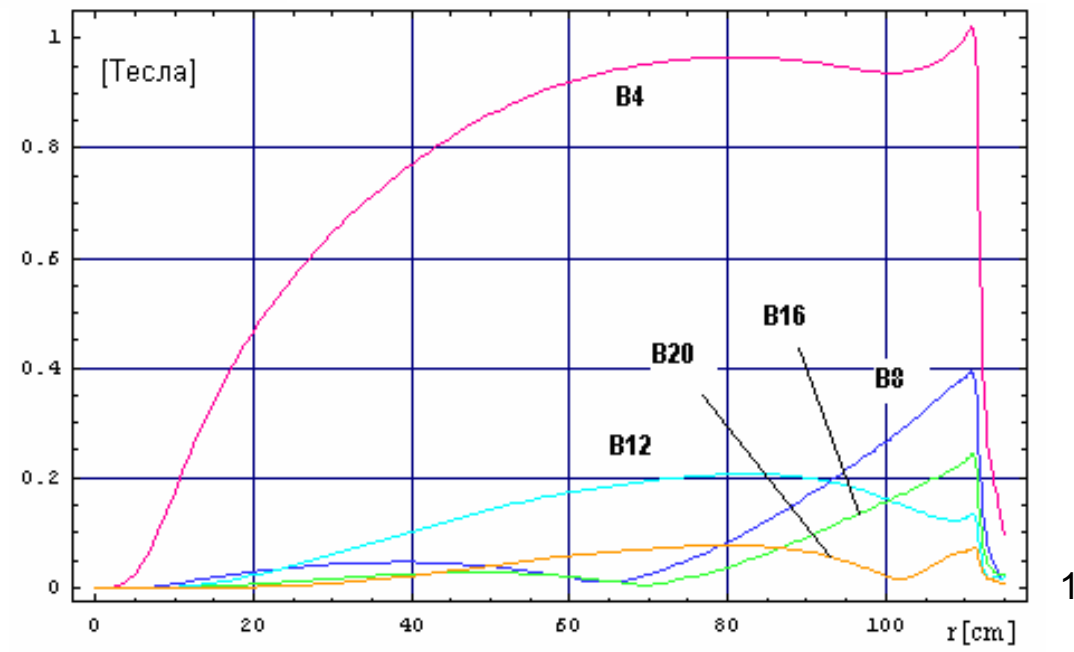
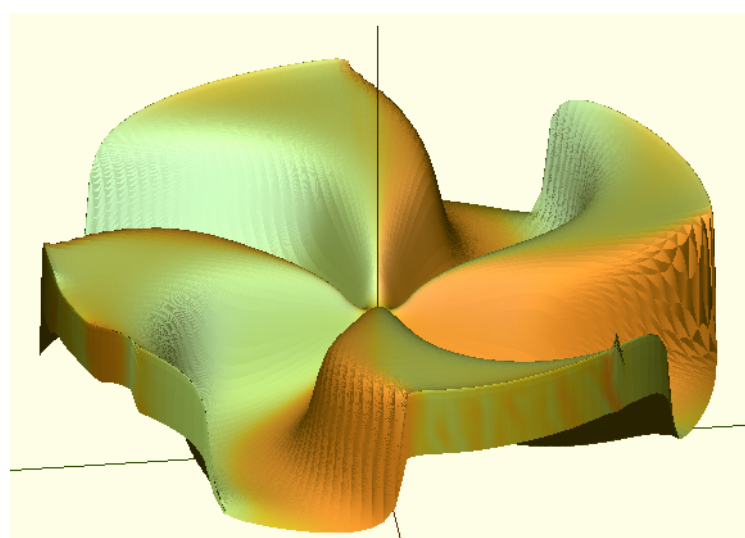
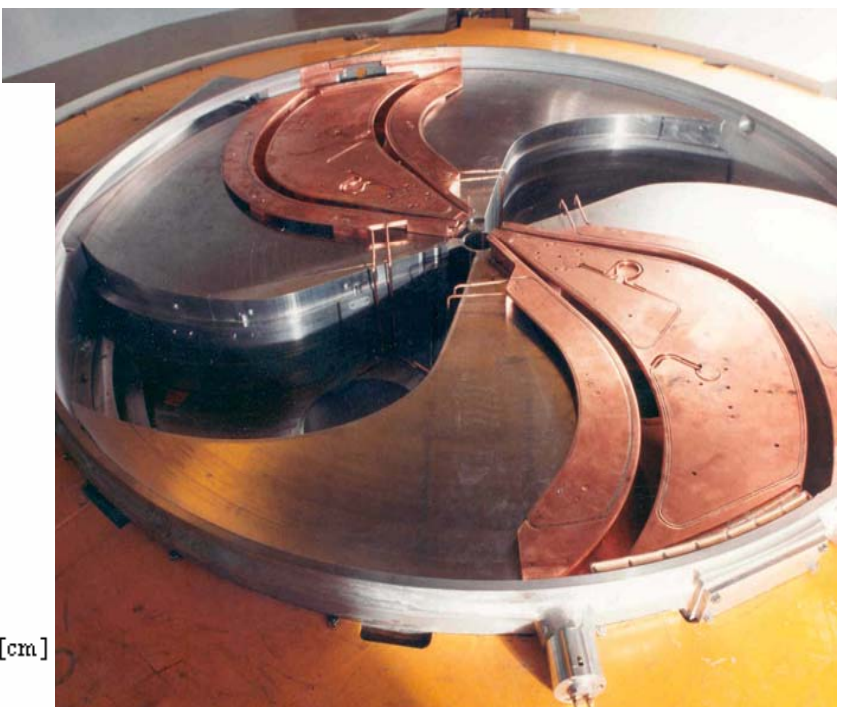
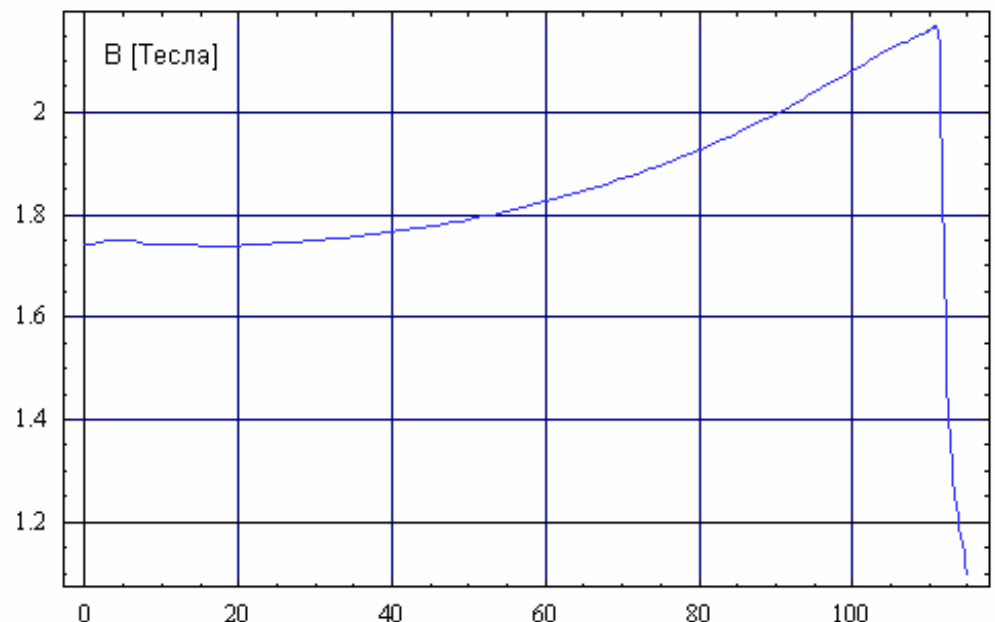


Инженерный центр ОИЯИ для сборки и испытаний ускорительной медицинской техники



JINR experimental hall for medical accelerators assembling & testing

Cyclotron magnetic field structure



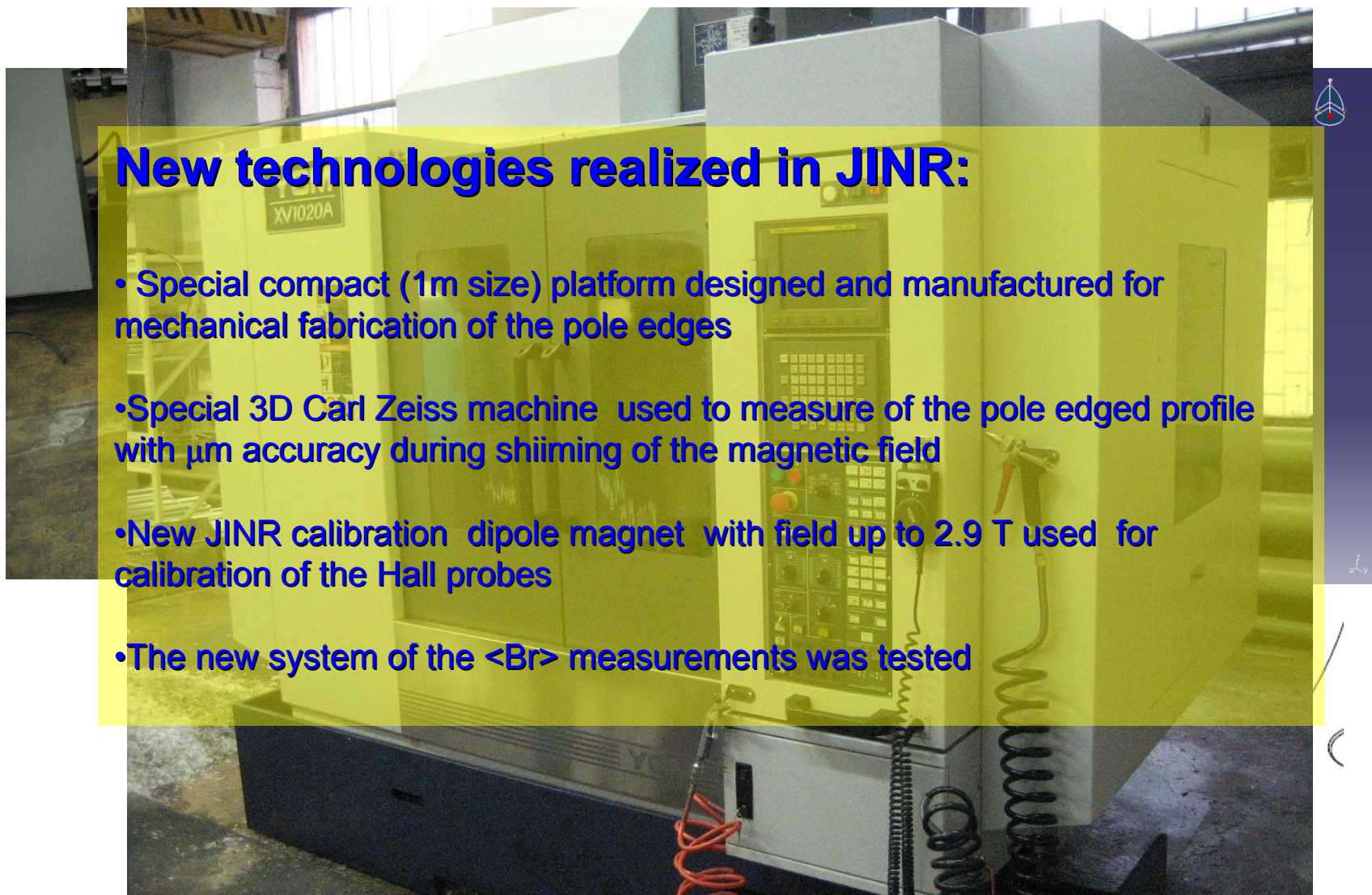
Magnetic field mapping system



Br-mapping system

Calibration dipole magnet with field upto 2.9T

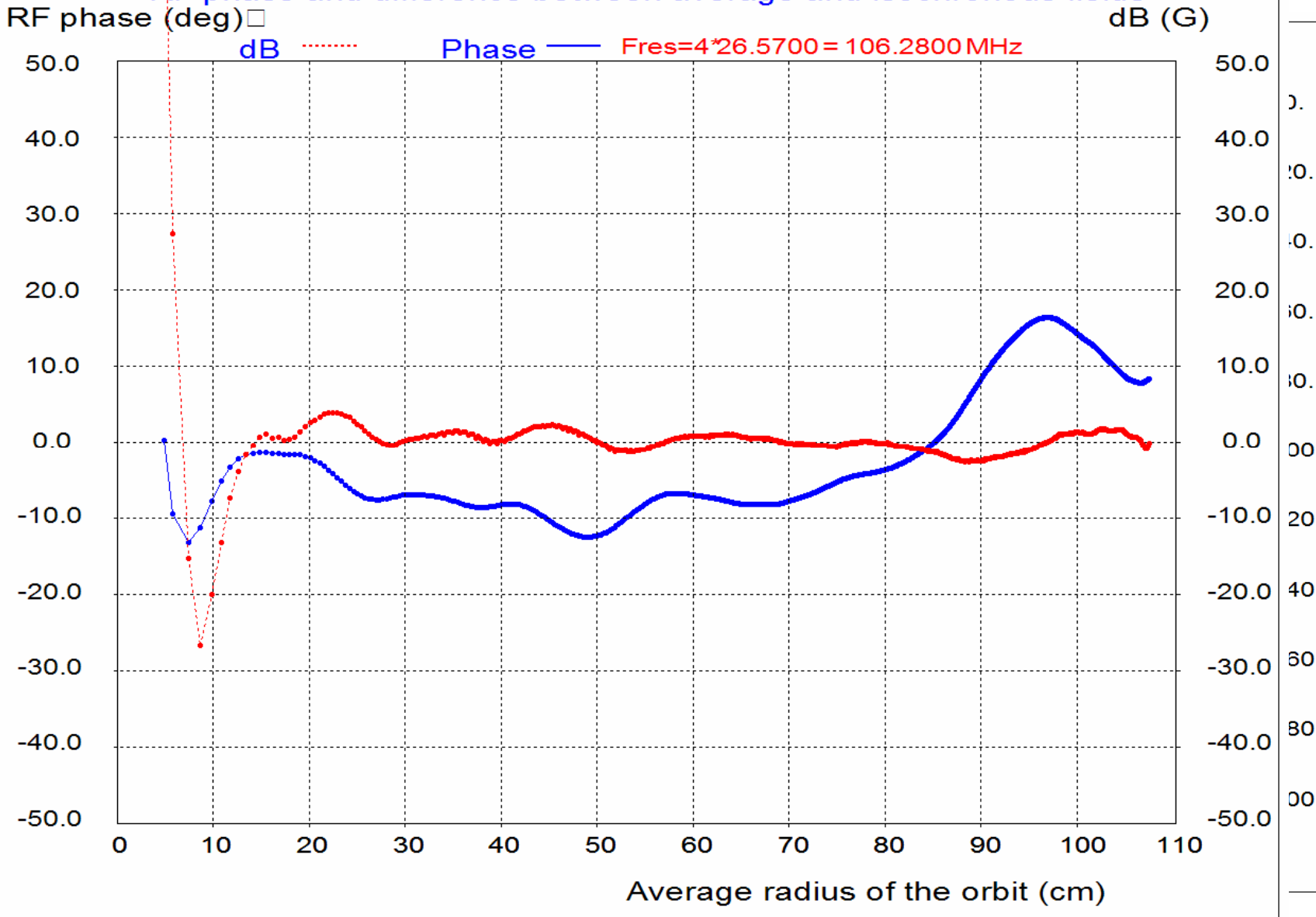




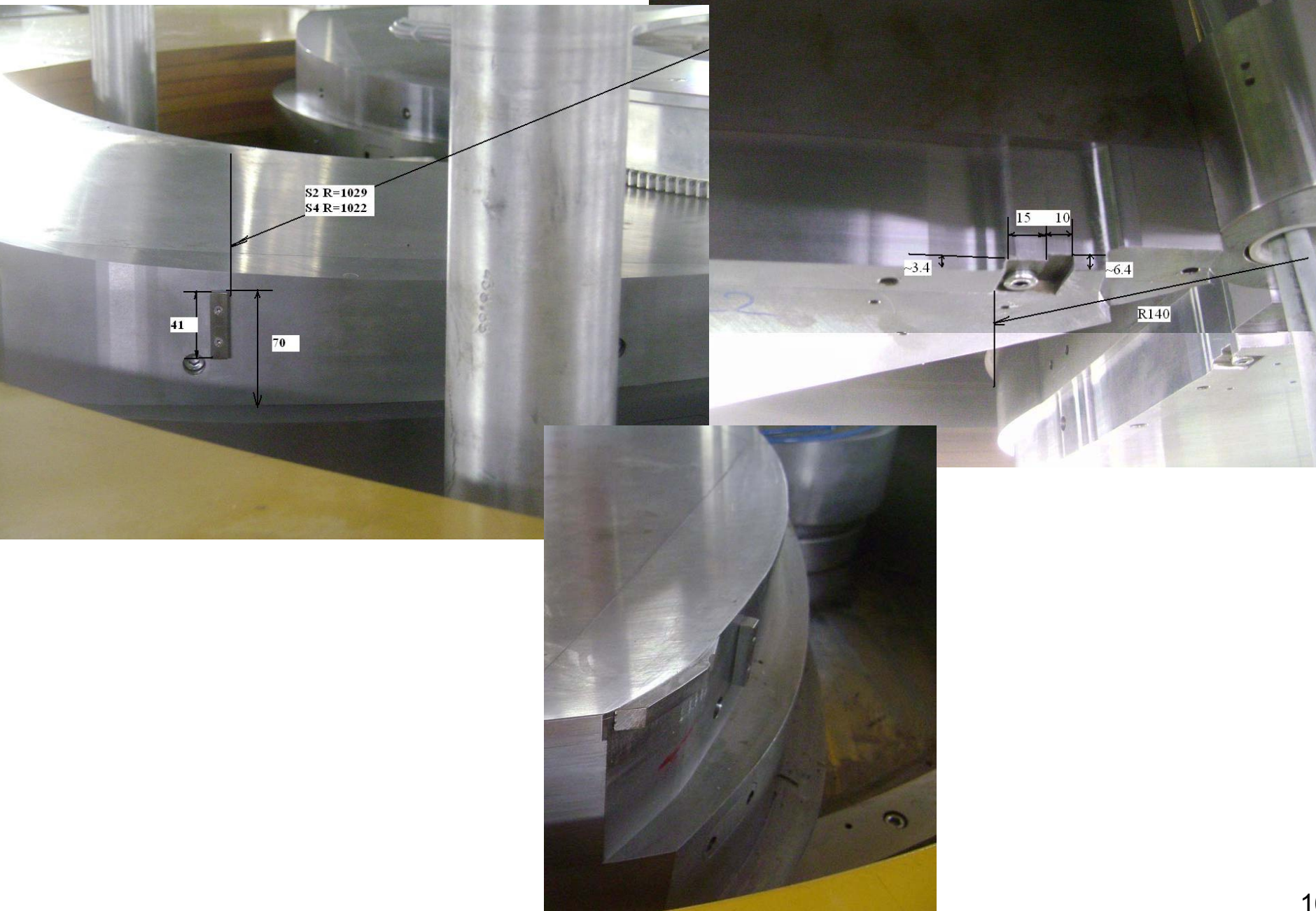
New technologies realized in JINR:

- Special compact (1m size) platform designed and manufactured for mechanical fabrication of the pole edges
- Special 3D Carl Zeiss machine used to measure of the pole edged profile with μm accuracy during shiiming of the magnetic field
- New JINR calibration dipole magnet with field up to 2.9 T used for calibration of the Hall probes
- The new system of the $\langle \text{Br} \rangle$ measurements was tested

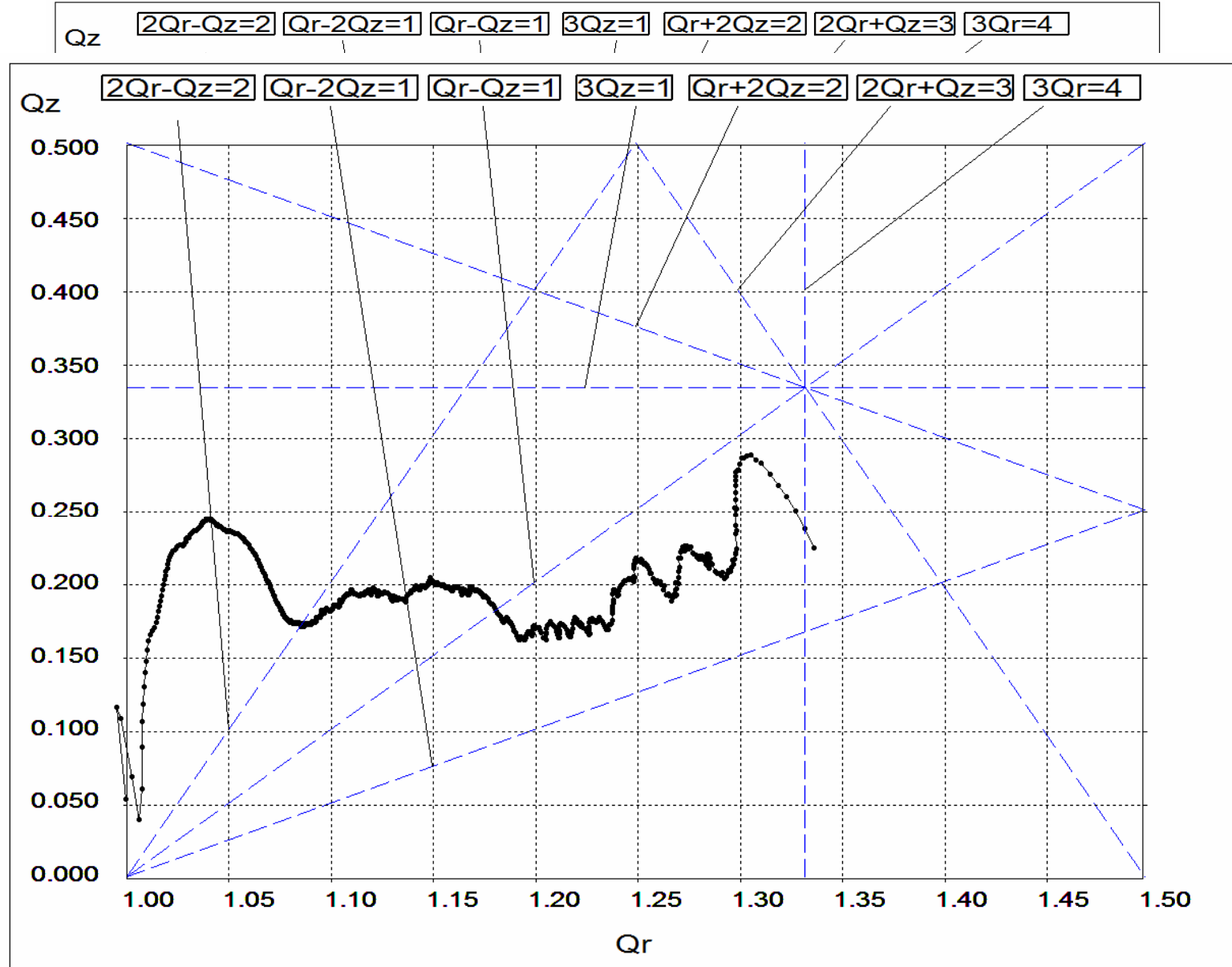
RF phase and difference between average and isochronous fields



Финальная конфигурация магнитного поля

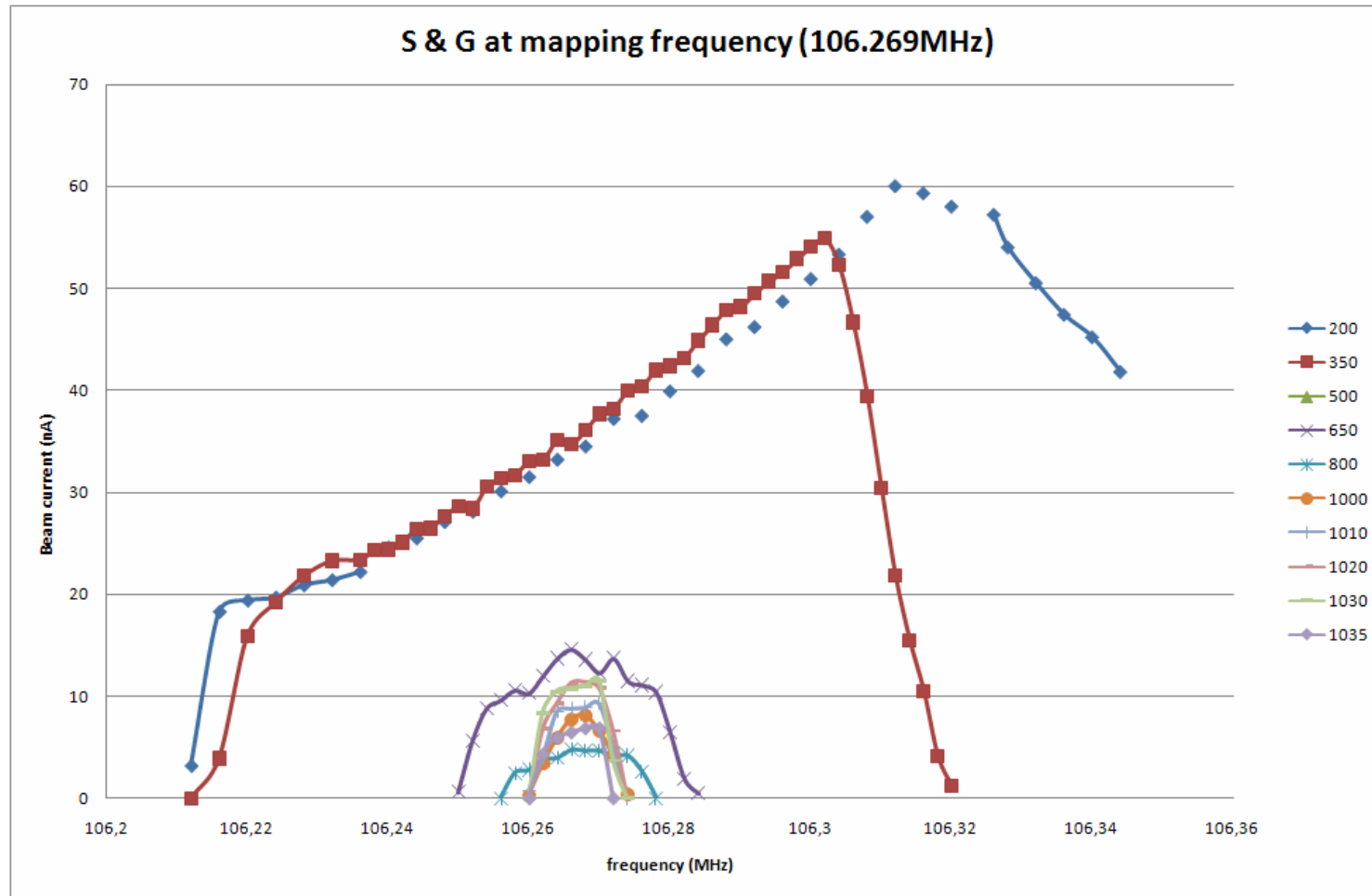


Tune – diagram correction



Beam tests

Isochronism test

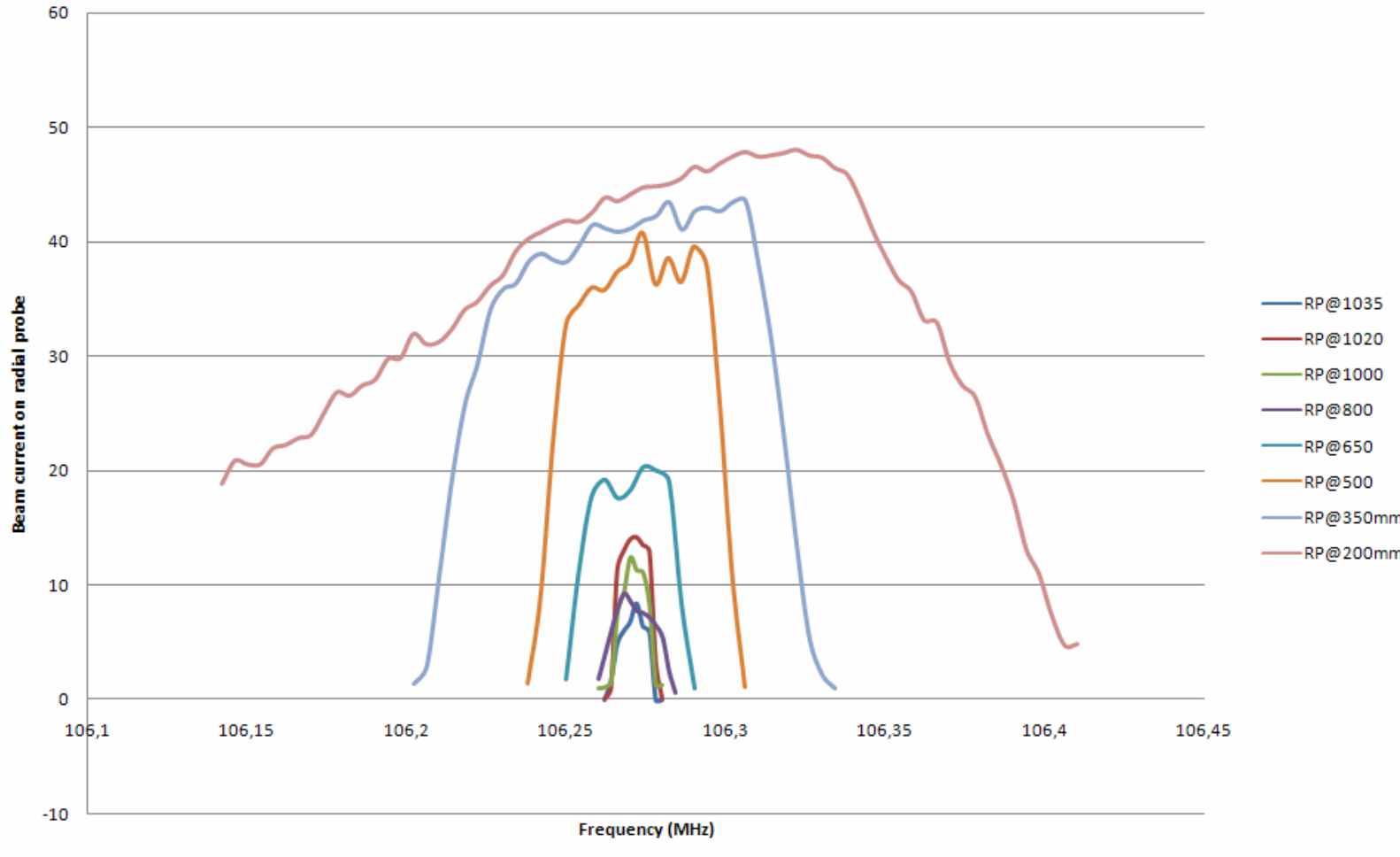


Smith & Garren curves at initial configuration



Vertical adjustment of the central
plugs due to plane $z=0$

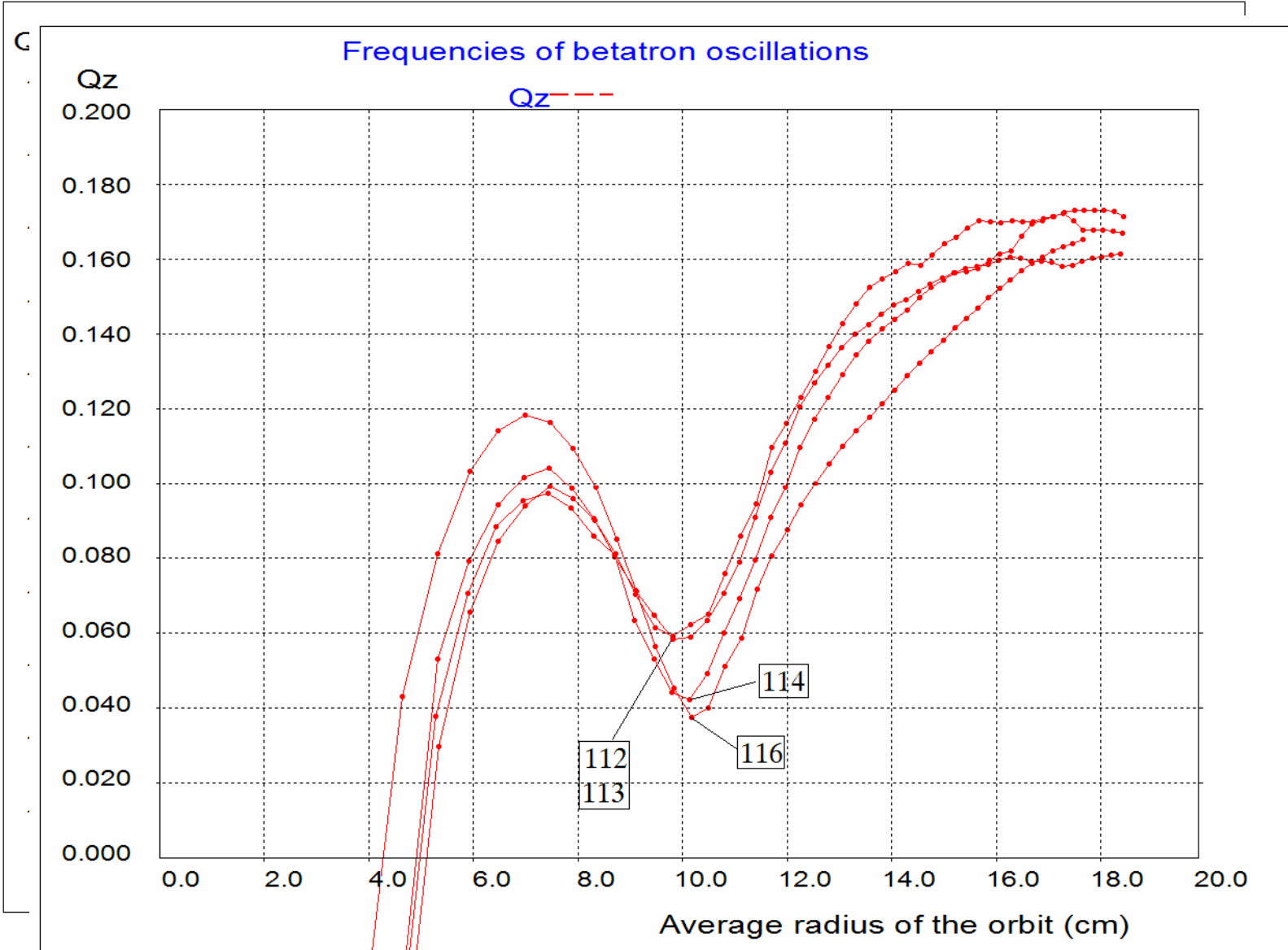
Smith & Garren centered on 106.270MHz

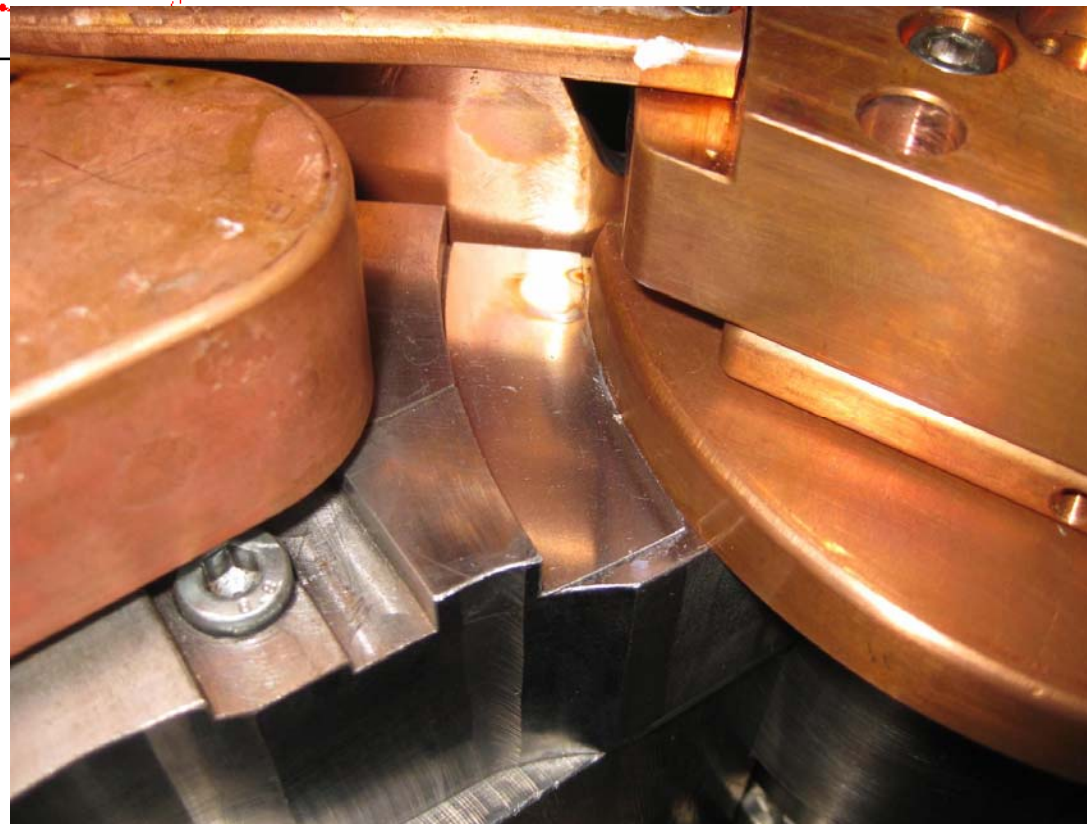
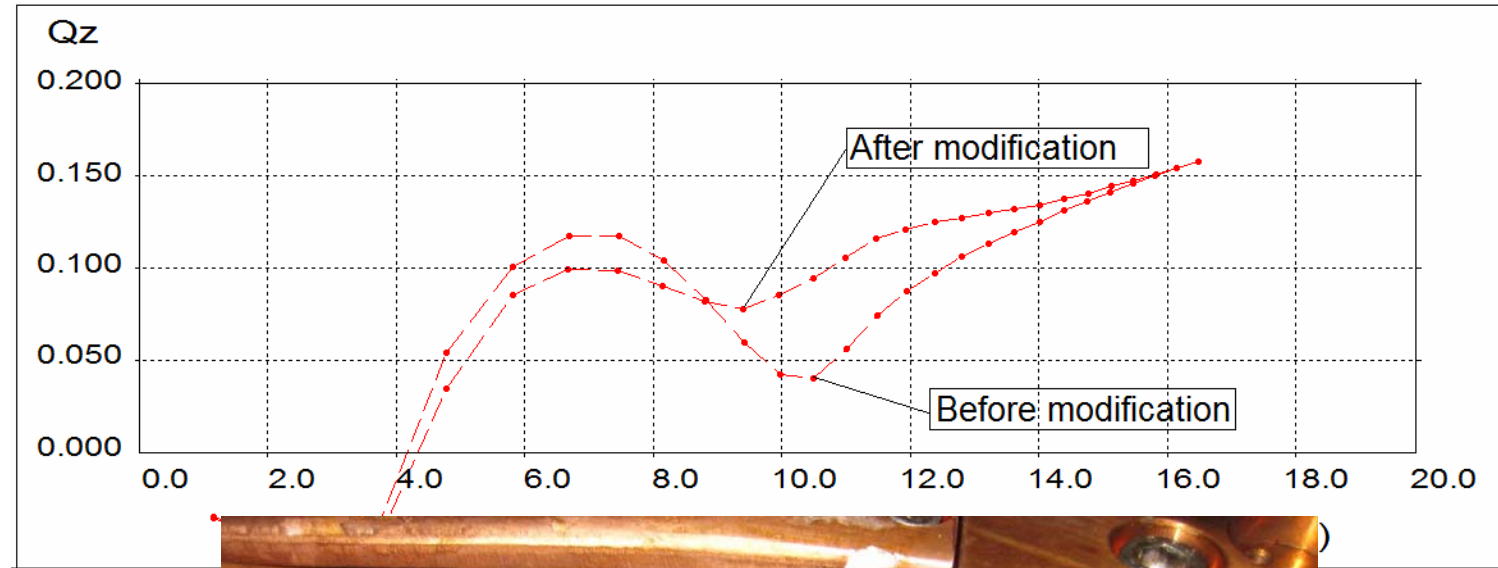


Smith & Garren curves at final configuration

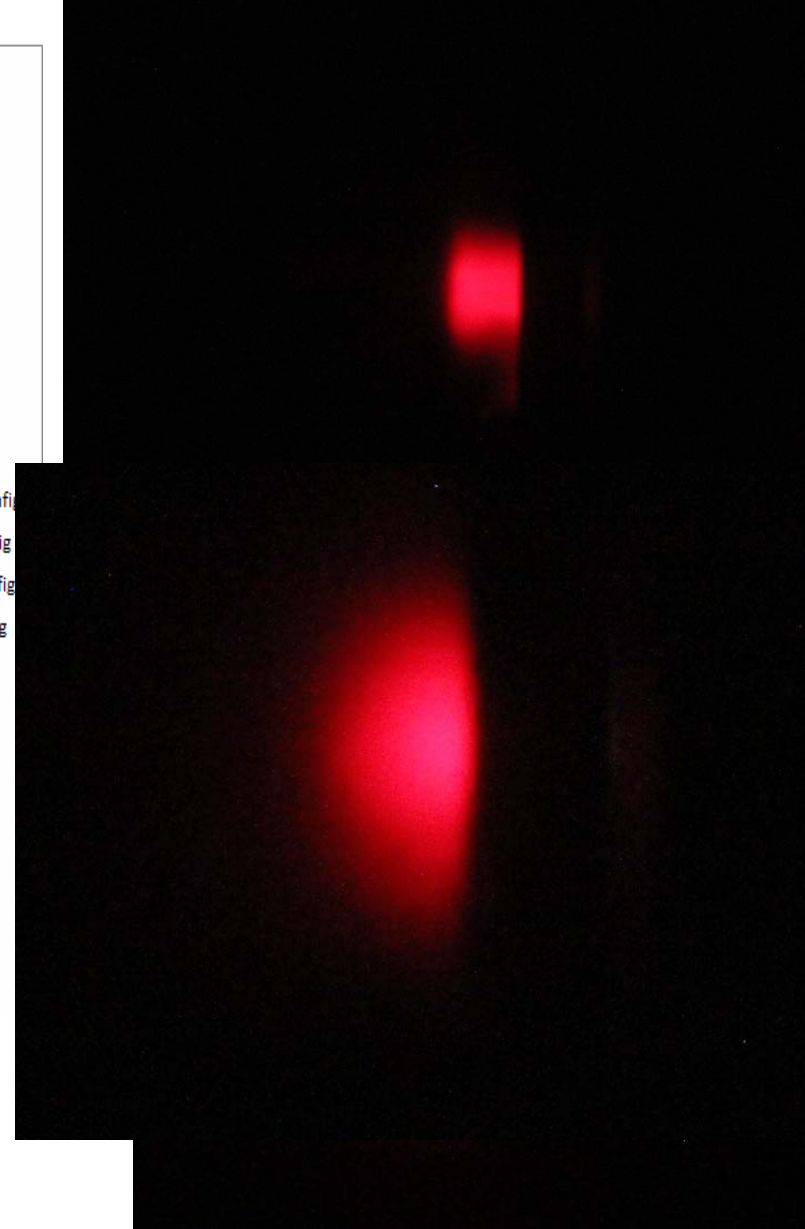
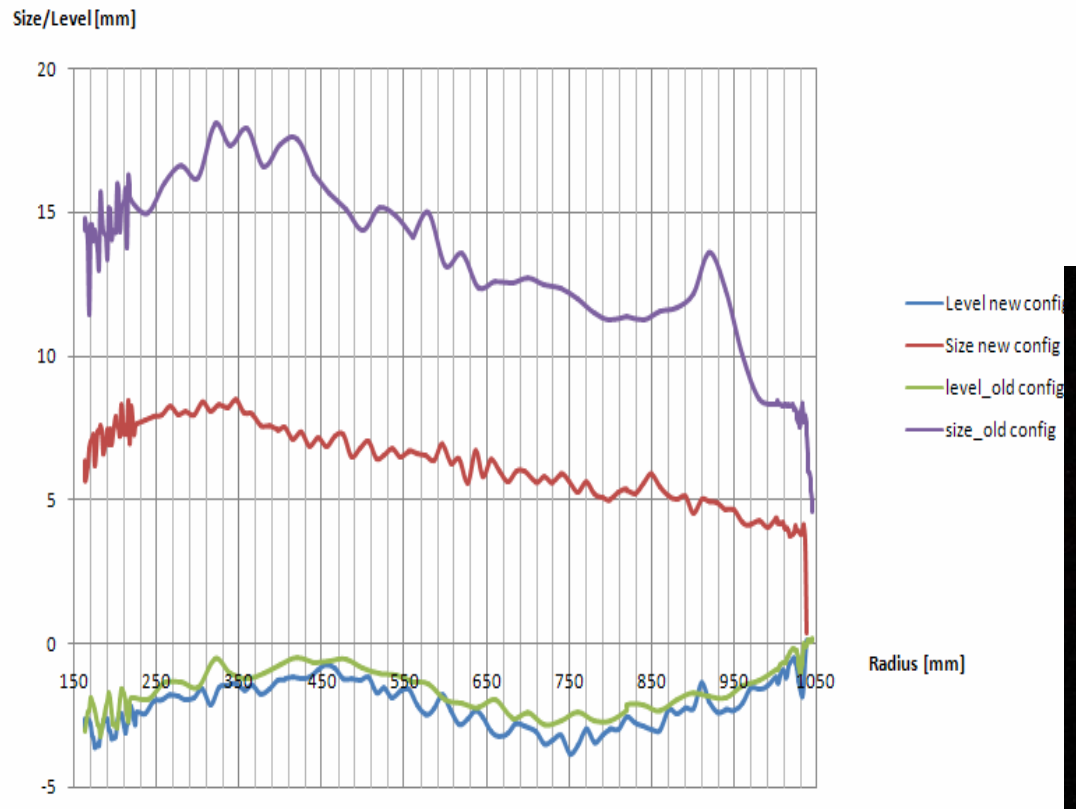
Bav,Bis (G)

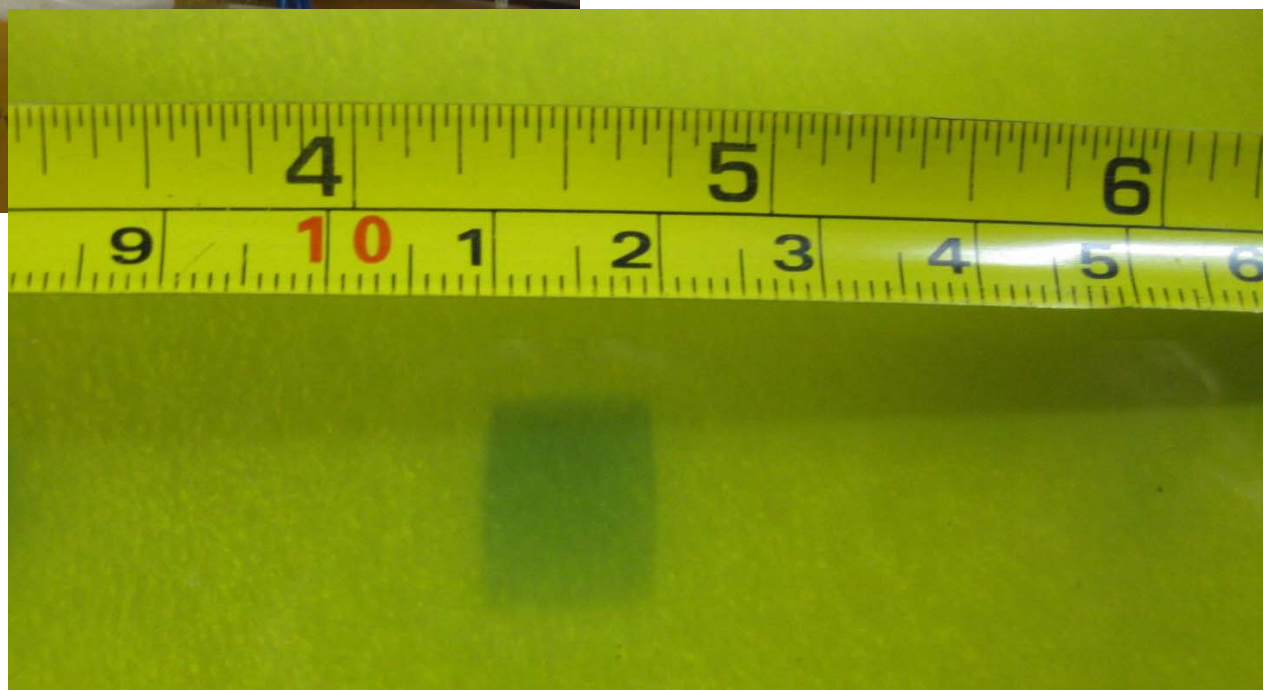
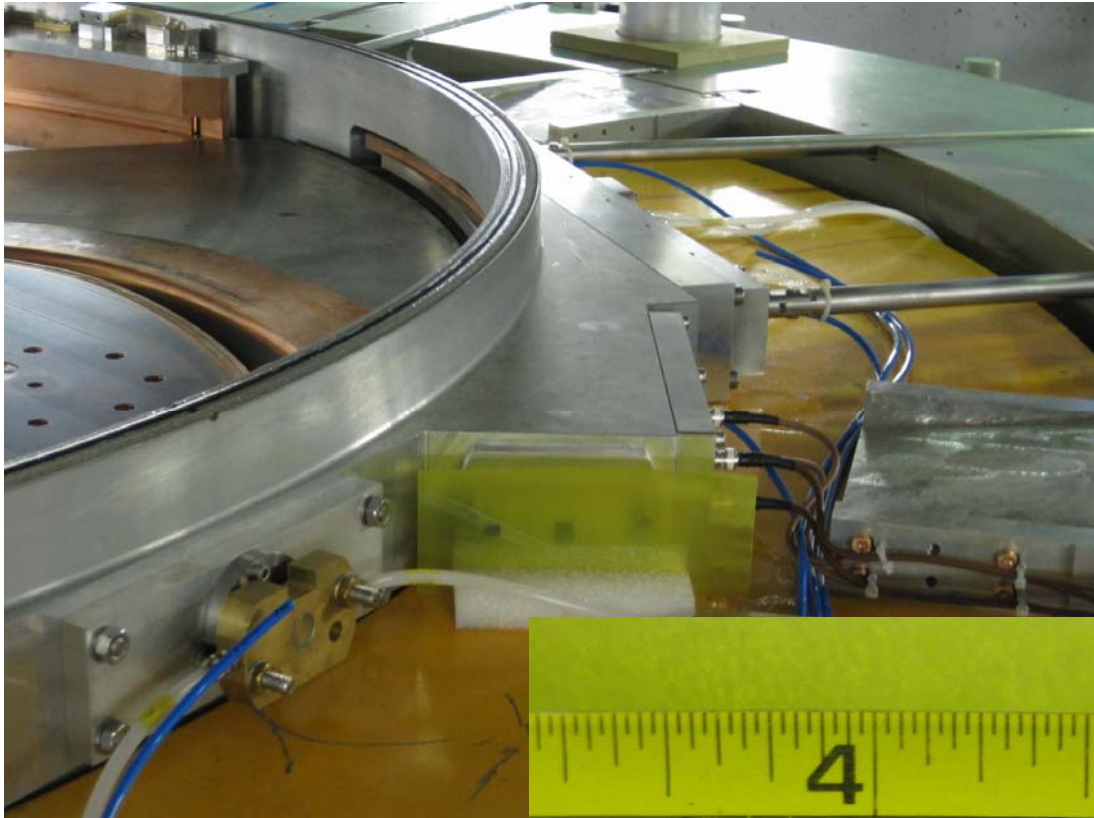
Isochronous and average magnetic fields





Beam size & level = f(radius)

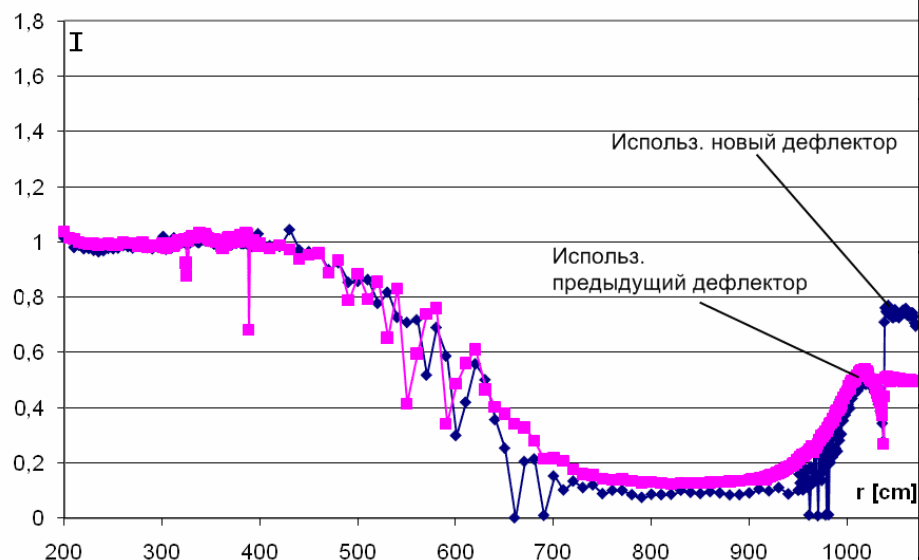




Beam test results C235-V3

- The PAP116 machine was finally isochronized, operating RF-frequency is 106.270 MHz, $I_{mc}=760.7$ A
- Beam leaves central region without essential vertical and phase losses.
- Transmission from $r=300$ mm to 1030 is **72%**. Visual probe data show that likely the axial losses do not exist in this radial range.
- Beam vertical motion in the cyclotron is in the acceptable limits ($\Delta Z_{beam} \leq 3$ mm).
- Extraction efficiency is **62%**.
- Total efficiency of PAP-116 machine is **45%**.
- Final tuning of the PAP-116 machine must be performed in Dimitrovgrad.

Modified cyclotron C235-V3

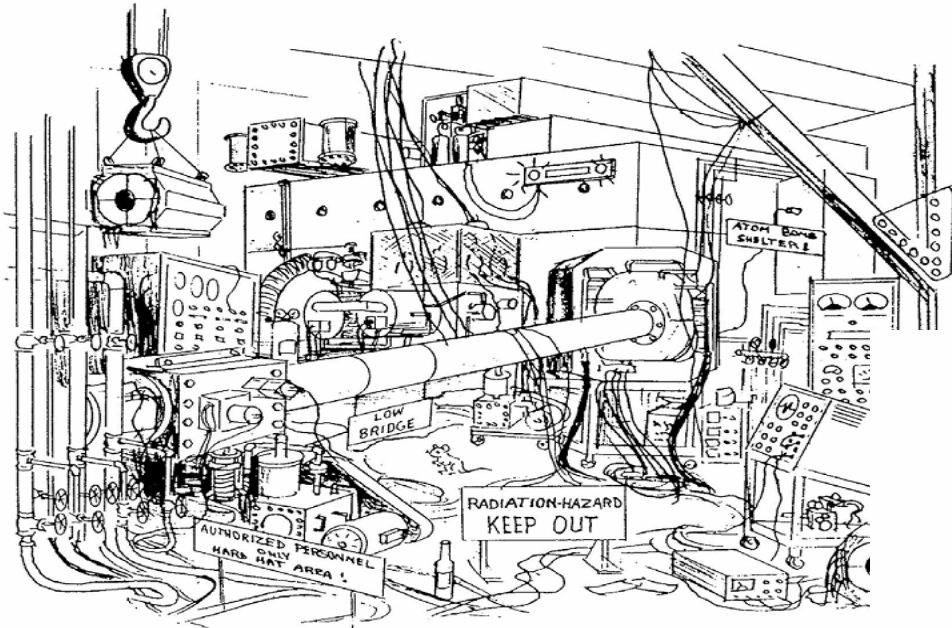


**Extraction efficiency
50% \rightarrow 75% with new
Extr. system**

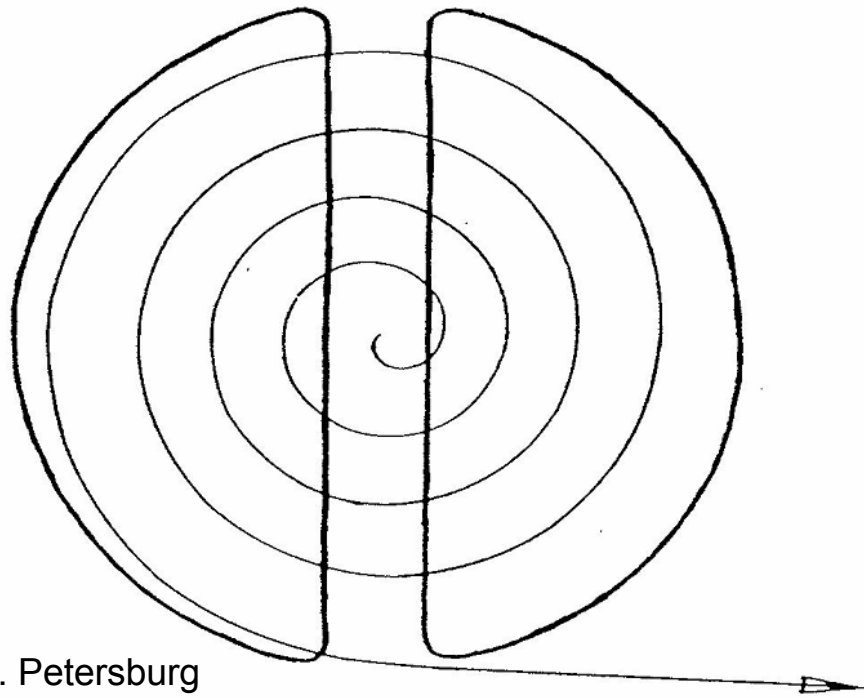
	C235	C235-V3
Vertical betatron frequency at $R>80\text{cm}$	$Q_z=0.25$	$Q_z=0.45$
Vertical coherent beam Displacement due to median plane effects	3-4mm	1-2mm
Possible beam losses at acceleration without installed diaphragms	50%	25%
Beam losses at extraction	50%	25%
Reduction of irradiation dose of cyclotron subsystems		2-3 times

With finishing of this project in JINR the new milestone on JINR activity in applied researches is completed

The Cyclotron as seen
by the **Visitor**

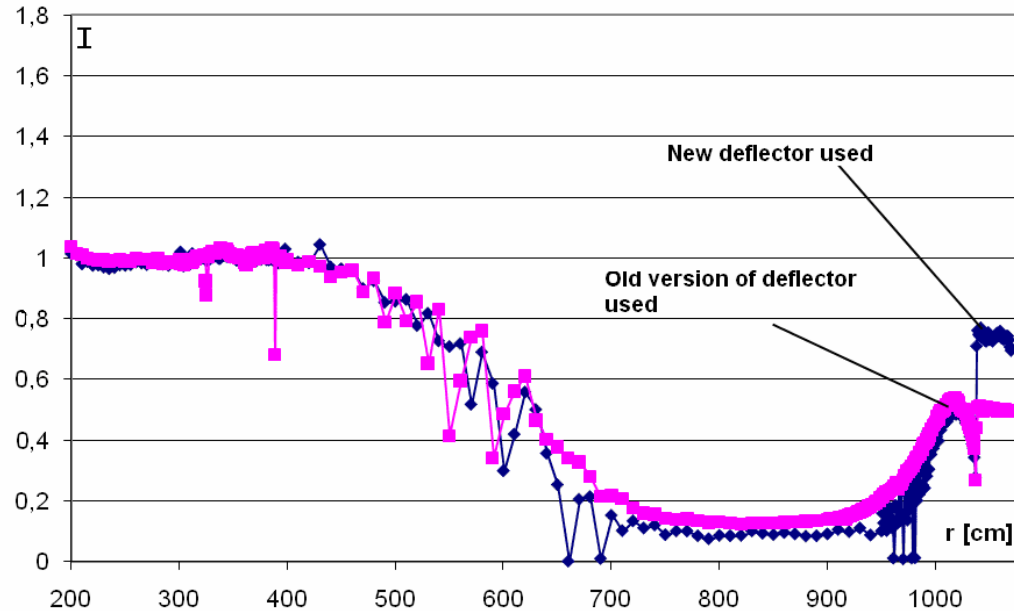


The Cyclotron as seen
by the **scientist**



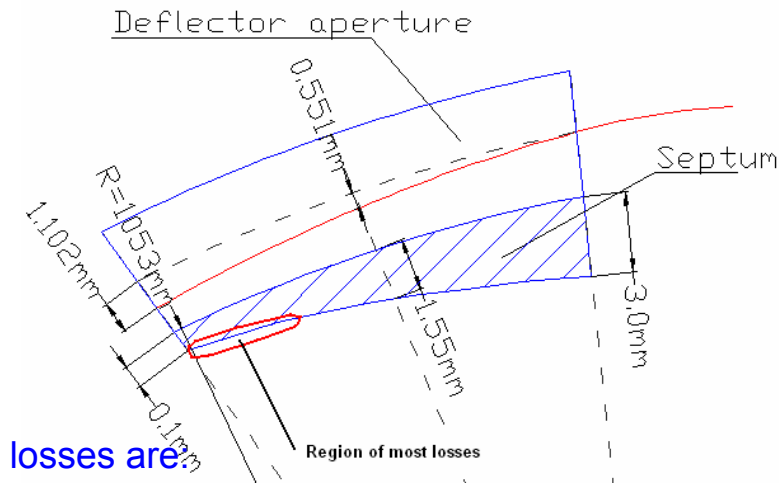
Спасибо за внимание

Efficiency of the extraction system

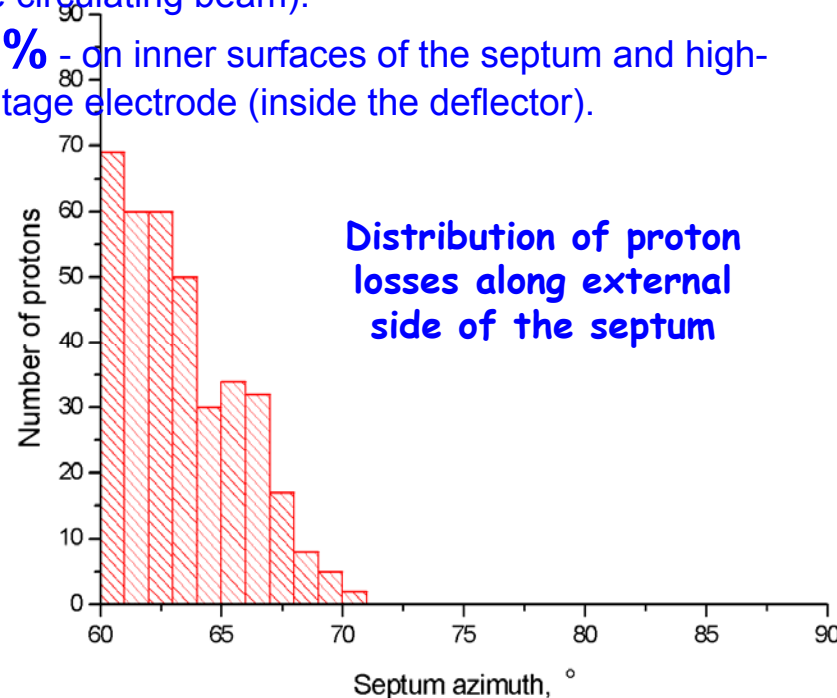


Simulations give that it is possible to ensure **80%** extraction efficiency.

Deflector with a new geometry of the septum was manufactured and tested at one of the C235-cyclotrons. Extraction efficiency was increased from **50%** up to **77%**

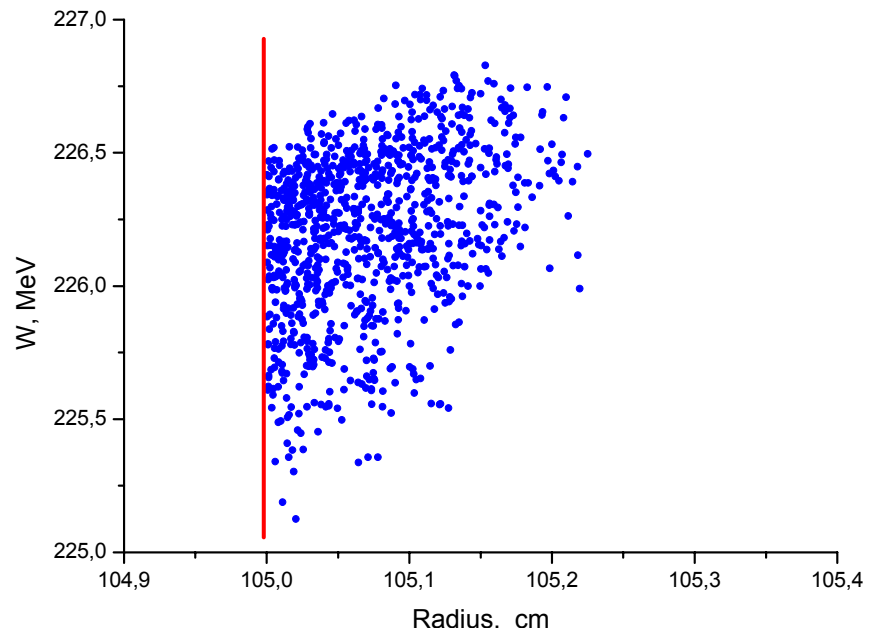
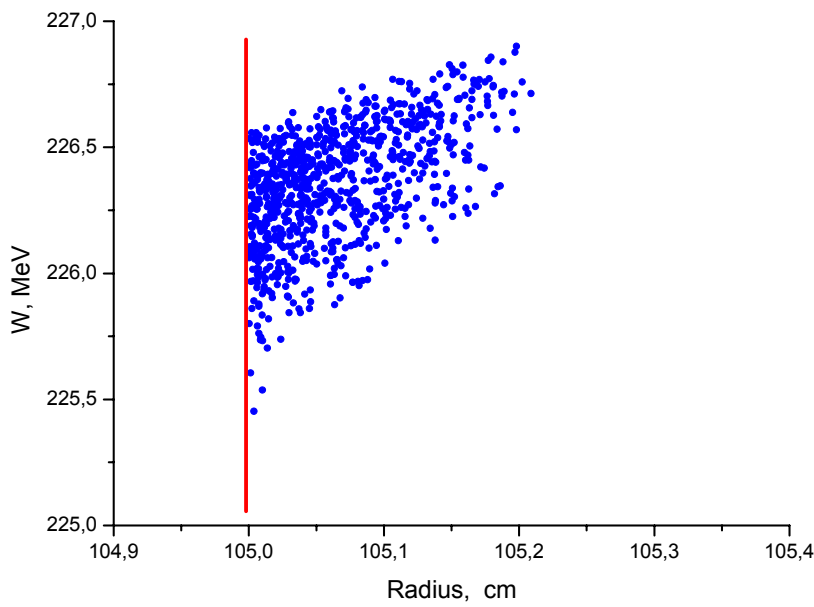
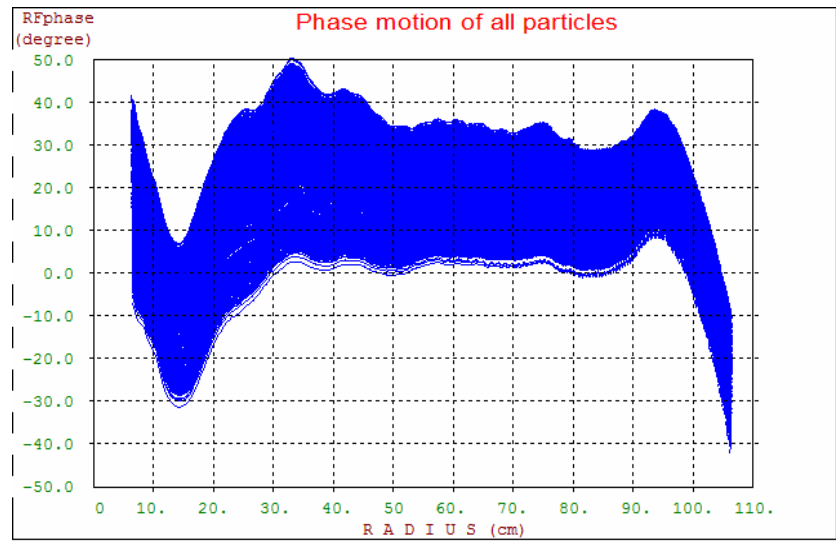
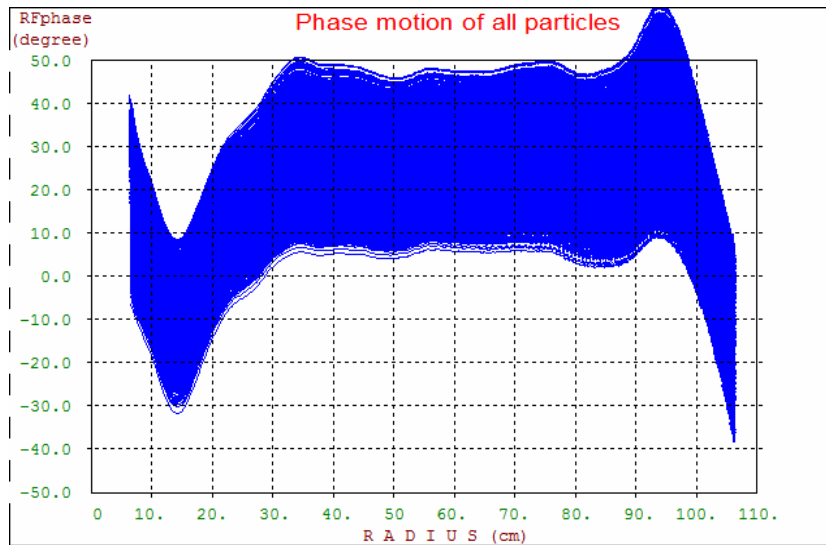


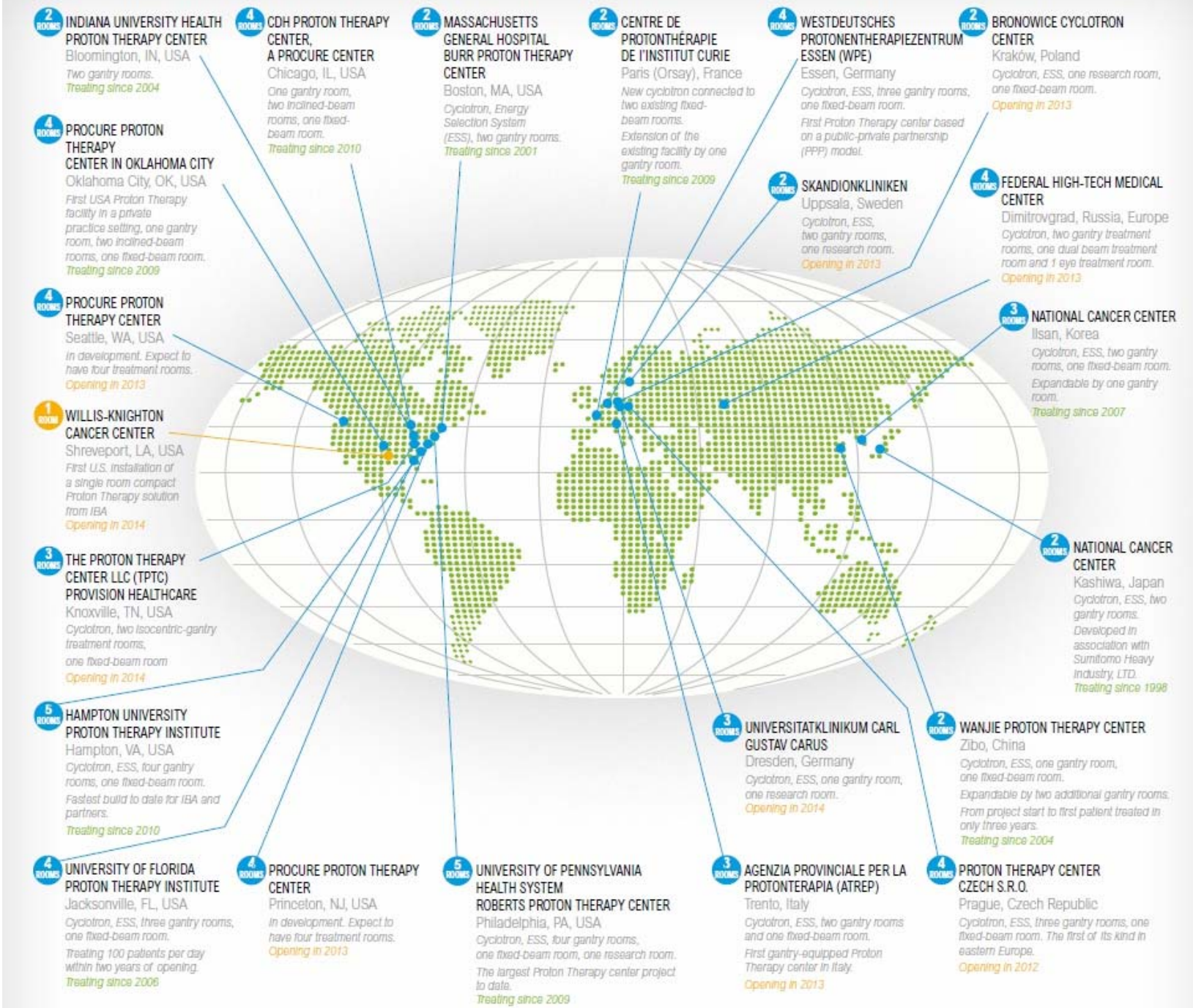
- Beam losses are:
- 10% - on the top of the septum
- 25% - on outer surface of the septum (looking on the circulating beam).
- 5% - on inner surfaces of the septum and high-voltage electrode (inside the deflector).



Distribution of proton losses along external side of the septum

Учет влияния магнитной компоненты ВЧ- поля на движение пучка





Beam test results C235-V3

- The PAP116 machine was finally isochronized, operating RF-frequency is 106.270 MHz, $I_{mc} = 760.7 \text{ A}$
- Beam production from ions source (140V/100mA, 198A) is acceptable
- Beam leaves central region without essential vertical and phase losses.
- Transmission from $r=300\text{mm}$ to 1030 is **72%**. Visual probe data show that likely the axial losses do not exist in this radial range.
- Beam vertical motion in the cyclotron is in the acceptable limits ($\Delta Z_{beam} \leq 3 \text{ mm}$).
- Extraction efficiency is **62%**.
- Total efficiency of PAP-116 machine is **45%**.
- Final tuning of the PAP-116 machine must be performed in Dimitrovgrad.